

ლექცია 5

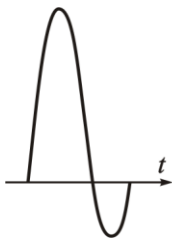
არააპრიორული სიჩაღის საექტრული ანალიზი.

ფურიეს გარდაშმარილი

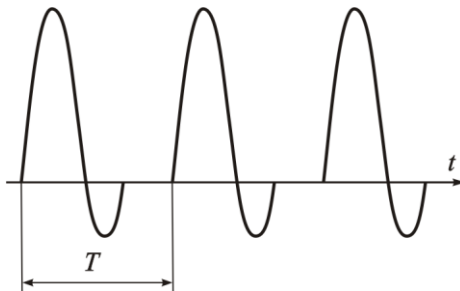
ფურიეს მეთოდი იძლევა ღრმა და ნაყოფიერი გაერთიანების საშვალებას. მისი გამოყენებით შესაძლებელია მივიღოთ არაპრიორული სიგნალების სპექტრული მახსასიათებლები.

2.5. იმაულის აპრიორული გამრმალება

დავ $s(t)$ - განსაზღვრული ხანგძლიობის განცალკავებული იმპულსია (ნახ. 2.10). აზრობრივად დაუმატოდ მას ასეთივე იმპულსები, რომლებიც რაოდე T ინტერვალით არიან დაშორებული ერთმანეთისაგან (ნახ. 2.11). მივიღებოთ უკვე შესწავლილ



ნახ. 2.10



ნახ. 2.11

პერიოდულ მიმდევრობას $s_{\text{პრ}}(t)$, რომელიც შესაძლებელია წარმოვიდგინოთ ფურიეს კომპლექსური რიგის სახით:

$$s_{\text{პრ}}(t) = \sum_{n=-\infty}^{\infty} C_n e^{jn\omega_0 t}, \quad (2.13)$$

$$\text{ამპლიტუდური } \text{კოეფიციენტებით } C_n = \frac{1}{T} \int_{-T/2}^{T/2} s(t) e^{-jn\omega_0 t} dt. \quad (2.14)$$

იმისათვის, რომ დავბრუნდეთ უკან განცალკავებულ იმპულსთან, მივასტრაფოთ განმეორებისპერიოდი T უსასრულობისაქნ ამასთან, აშკარაა:

1. მეზობელი პარმონიაების სიხშირეები $n\omega_1$ და $(n+1)\omega_1$ აღმოჩნდებიან ისე ახლოს ერთმანეთან, რომ ფორმულებში (2.13) და (2.14) დისკრეტული ცვლადი $n\omega_1$ შეიძლება ჩავანაცვლოთ უწყვეტ ცვლადით ვ, სადაც ის **მიმდინარე სიხშირე**.

2. ამპლიტუდური C_n კოეფიციენტები აღმოჩნდებიან უსასრულოდ პატარები ვინაიდან (2.14) ფორმულაში T სიდიდე მნიშვნელშია.

ჩვენი ამოცანაა ვიპოვოთ (2.13) ზღვრული მნიშვნელობა როცა $T \rightarrow \infty$

2.6. სამსახურული სიმპრიზის ცენტები

ვისარგებლოთ იმით, რომ ფურიეს მწყრივის კოეფიციენტები ქმნიან კომპლექსურად-შეუდლებელ წყვილებს:

$$C_n = A_n e^{j\phi_n}, \quad C_{-n} = A_n e^{-j\phi_n}.$$

ეოველ ასეთ წყვილს შეესაბამება ჰარმონიული რხევა

$$A_n e^{j(n\omega_0 t + \phi_n)} + A_n e^{-j(n\omega_0 t + \phi_n)} = 2A_n \cos(n\omega_0 t + \phi_n)$$

კომპლექსური ამპლიტუდით $2A_n e^{j\phi_n} = 2C_n$.

განვიხილოთ $\Delta\omega$ სიხშირის მცირე ინტერვალი, რომელიც ქმნის რაიმე არეს ამორჩეული ღა სიხშირის გარშემო. ამ არის ზღვრების ინტერვალში მოთავსდება $N = \Delta\omega/\omega_0 = \Delta\omega T/(2\pi)$

ცალკეული წყვილების სპექტრული მდგენელების რაოდენობა. მათი სიხშირეერები მცირე სიდებით განსხვავდებიან ერთმანეთისაგან. ამიტომ სპექტრული შემაღლებები შეგვიძლია შევაჯამოთ ისე, რომ ყველა მათგანს აქვს ერთიდაიგივე სიხშირე და ხასიათდებიან ერთნაირი კომპლექსური ამპლიტუდებით

$$2 \cdot C_n = 2 \cdot \frac{1}{T} \int_{-\infty}^{\infty} s(t) e^{-jn\omega_0 t} dt$$

საბოლოოთ ვპოულობთ ეკვივალენტური ჰარმონიული სიგნალის კომპლექსურ ამპლიტუდას, რომელიც ასახავს წილობრივ შენატანს ყველა იმ სპექტრული მდგენელისა, რომელსაც შეიცავს და ინტერვალი:

$$\Delta A_{\omega_0} = \frac{2N}{T} \int_{-\infty}^{\infty} s(t) e^{-jn\omega_0 t} dt = \frac{\Delta\omega}{\pi} \int_{-\infty}^{\infty} s(t) e^{-jn\omega_0 t} dt. \quad (2.15)$$

$$\text{ფუნქცია } S(\omega) = \int_{-\infty}^{\infty} s(t) e^{-jn\omega_0 t} dt \quad (2.16)$$

ეწოდება $s(t)$ სიგნალის **სპექტრული სიმპრივე**. ფორმულა (2.16) ახორციელებს მოცემული სიგნალის ფურიე გარდაქმნას. სპექტრული სიმპრივეს ასევე უწოდებენ **სპექტრული ფუნქცია** ან ფურიეს-სახის სიგნალი

2.7. სპექტრული სიმაღლის ცნობაბის ფიზიკური აზრი

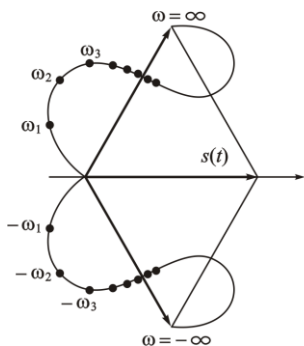
მიღებული რეზულტატების ინტერპრეტაცია მოსახერხებულია ჩავატაროთ **კუთხური** და **სიხშირიდან**, **ციკლური** $f = \omega/(2\pi)$ სიხშირეზე გადასვლისას. ამასთან (2.15) მიიღებს სახეს

$$\Delta A_{\omega_0} = \frac{\Delta\omega}{\pi} S(\omega_0) \Rightarrow \Delta A_{f_0} = \frac{2\pi\Delta f}{\pi} S(2\pi f_0) = 2S(2\pi f_0)\Delta f. \quad (2.17)$$

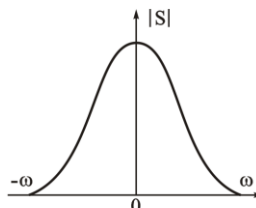
ეს გამოითქმება შემდეგ ნაირად: სპექტრული სიმკრივე $S(2\pi f_0) = S(\omega_0)$ არის პროპორციულობის კოეფიციენტი სიხშირის მცირე ინტერვალის Δf სიგრძის და მის მოპასუხე და კარმონიული სიგნალის კომპლექსური ამპლიტუდას ΔA_{f_0} შორის. კოეფიციენტი 2 ნიშნავს, რომ ამპლიტუდის მნიშვნელობის შენატანში ერთნაირად იდგებს როგორც დადებითი $+f_0$, ასევე უარყოფითი $-f_0$ სიხშირეები, რომლებიც ქმნიან წერტილების გარემოს $\pm f_0$.

პრინციპულად მნიშვნელოვანია, რომ სპექტრული სიმკრივე – სიხშირის კომპლექსური ფუნქციაა, რომელიც ერთდროულად შეიცავს ინფორმაციას როგორც ამპლიტუდაზე, ასევე ელემენტარული სინუსოიდების ფაზაზე. კერტორულ დიაგრამაზე (ნახ. 2.12) ელემენტარული კერტორების სიგრძეები უსასრულოდ მცირეა, ამიტომ ტენილის ნაცვლად (T სასრულია) მიიღება გლუვი მრუდები ($T \rightarrow \infty$). თუ სიხშირის დერძზე ავიდებთ რაიმე თანაბრად დაშორებულ წერტილების მიმდევრობას

$$0 < \omega_1 < \omega_2 \dots,$$



ნახ. 2.12



ნახ. 2.13

მაშინ სპექტრული სიმკრივის მოდული $|S(\omega)|$ (ნახ. 2.13) მრუ-
დის გასტარივ ადგენს ხაზოვან მაშტაბს: რაც მეტი იქნება
სპექტრული სიმკრივის მოდული, მთე იშვიათად განლაგდებიან
სიხშირის წერტილები ვექტორულ დიაგრამაზე.

დოოგრამა (ნახ. 2.12) აგებულია რადაც ფიქსირებული დროის
მოძრავისთვის. დროის გავლისას მრუდების კონფიგურაცია
იცვლება საკმარისათ რთულად, ამიტომ რაც მეტია სიხშირე,
მთე უფრო დიდი სიჩქარით იმოძრავებენ მრუდის შესაბამისი
მონაკვეთები. მაგრამ ფაქტიურად მნიშვნელოვანია არა მრუდის
ფორმა, არამეტ მისი ბოლო წერტილის პროექცია პორიზონტა-
ლურ დერძზე

2.8. უშრიეს შემცემლი გარდამონა

ვიპოვოთ სიგნალი ოუ მოცემული გვაქვს სპექტრული სიმ-
კრივები

დაუშვებად, რომ პერიოდული სიგნალი მიიღება პერიოდული
მიმდევრობიდან, ოუ მის პერიოდს მივასწრავეთ უსასრულები-
საკენ. ფორმულების (2.13) და (2.14) გამოყენებით, დაიწერება

$$s(t) = \lim_{T \rightarrow \infty} \sum_{n=-\infty}^{\infty} \frac{1}{T} S(n\omega_1) e^{jn\omega_1 t}.$$

ამ ფორმულაში შემავალი კოეფიციენტი $1/T$, ნებისმიერ მოე-
ლი n -ის, მეზობელ გარმონიკების სხვაობის პროპორციულია:

$$\frac{1}{T} = \frac{\omega_1}{2\pi} = \frac{1}{2\pi} [n\omega_1 - (n-1)\omega_1].$$

$$\text{მაშასადამე, } s(t) = \lim_{T \rightarrow \infty} \frac{1}{2\pi} \sum_{n=-\infty}^{\infty} S(n\omega_1) e^{jn\omega_1 t} [n\omega_1 - (n-1)\omega_1].$$

ვინაიდან ზღვარში მეზობელ პარმონიკებს შორის სიხშირუ-
ლი ინტერვალები შეუზღუდავად მცირდებიან, მიღებული ჯამი
შეიძლება შეიცვალოს ინტეგრალით

$$s(t) = \frac{1}{2\pi} \int_{-\infty}^{\infty} S(\omega) e^{j\omega t} d\omega. \quad (2.18)$$

ამ მნიშვნელოვან ფორმულას ეწოდება $s(t)$ სიგნალის **ფუ-
რიეს შექცევული გარდაქმნა**.

საბოლოოდ ჩამოვაჭალიბოთ ეს მნიშვნელოვანი რეზულტატი:

$s(t)$ სიგნალი და მისი $S(\omega)$ სპექტრული სიმკრივე ურთიერთ-
ცალსახათ დაკავშირებულია ფურიეს პირდაპირი და შექცევლი
გარდაქმნებით, შესაბამისად:

$$S(\omega) = \int_{-\infty}^{\infty} s(t) e^{-j\omega t} dt, \quad s(t) = \frac{1}{2\pi} \int_{-\infty}^{\infty} S(\omega) e^{j\omega t} d\omega. \quad (2.19)$$

სპექტრული დაშლის მეთოდი მნიშვნელოვნად ანვითარებს სიგნალების თეორიას. მაგალითად, სიგნალის მატემატიკური მოდელი $s(t)$ მოცემულია დროის არეში რთულია და არასაკმარისად თვალსაჩინო. ამავდროულად ამ სიგნალის აღწერა სიხშირულ არეში $S(\omega)$ ფუნქციით გამოყენებით შესაძლოა აღმოჩეს ძალზე მარტივი.

ამის გარდა მნიშვნელოვანია ის, რომ სიგნალის სპექტრული წარმოდგენა სსნის პირდაპირ გზას ფართო კლასის რადიოტექნიკურ წრედედებში, მოწყობილობებში და სისტემებში, სიგნალების გავლის ანალიზისათვის.